

## Arbeiten aus dem botanischen Institut zu Marburg.

### II.) P. Merker, *Gunnera macrophylla* Bl.

(Hierzu Tafel VII, VIII, IX.)

Vorbemerkung: Bei einer in Java vorgenommenen vorläufigen Untersuchung von *Gunnera macrophylla*, welche in grosser Menge am Gedéh (an dem unten bezeichneten Standort wächst) fiel mir die Verschiedenheit in dem gröberen anatomischen Bau dem von *G. scabra* gegenüber auf. Ich veranlasste deshalb Herrn Merker zu einer eingehenderen Untersuchung und bringe dessen, als Dissertation veröffentlichte Abhandlung hier zum Abdruck, weil wir in Bezug auf die neuerdings so viel erörterte Frage nach dem systematischen Werth anatomischer Merkmale der Nachweis von erheblichem Interesse scheint, dass zwischen zwei Arten einer Gattung sehr viel grössere Verschiedenheiten im anatomischen Aufbau sich zeigen können, als sonst oft zwischen zwei Familien.

Was die Stellung von *Gunnera* im System betrifft, so ist meine Ansicht darüber unten wiedergegeben. Die Gattung ist offenbar eine alte und vereinzelt stehende, worauf auch die Verschiedenheiten zwischen ihren Arten hinweisen. Es liegt hier, wie es scheint, ein ähnlicher Fall vor, wie bei *Lycopodium*, einer ebenfalls vereinzelt stehenden Gattung mit Arten, welche — namentlich bei Berücksichtigung der Geschlechts-generation — bedeutende Differenzen aufweisen.

Einige Lücken der vorliegenden Arbeit wie z. B. in Bezug auf Gestaltung und anatomischen Bau den Keimpflanzen u. a. werden hoffentlich später ausgefüllt werden können.  
K. G.

Die von Endlicher<sup>2)</sup> aufgestellte Familie der Gunneraceen ist besonders interessant

- 1) durch verschiedene morphologische Erscheinungen,
- 2) durch den anatomischen Bau des Stammes,
- 3) durch die eigenthümliche Symbiose mit *Nostoc*.

Reinke<sup>3)</sup> giebt in seinen „Untersuchungen über die Morphologie der Vegetationsorgane von *Gunnera*“ eine ausführliche Beschreibung von *Gunnera scabra* R. P., dagegen fehlt eine solche für die anderen Arten der Gattung.

Wenngleich Reinke den anatomischen Bau der Stränge von *G. scabra* festgestellt hat, so ist es ihm dennoch nicht gelungen eine genaue Beschreibung von dem Verlauf der einzelnen Stränge zu geben und die Frage endgültig zu entscheiden, ob der Stammaufbau bei *Gunnera* nur durch Blattspurstränge oder auch gleichzeitig durch stammeigene Stränge bewirkt wird.

Reinke verfolgte den Strangverlauf hauptsächlich bei Keimpflanzen der *G. scabra*, da die Feststellung desselben bei älteren Pflanzen wegen

1) I s. Heft I pag. 1 dieses Jahrgangs: K. Goebel über die Jugendzustände der Pflanzen.

2) Endlicher, *Genera plantarum*, pag. 285.

3) Reinke, *Morphologische Abhandlungen*, Leipzig 1873, W. Engelmann.

der ungeheuren Verschränkung, Gleichartigkeit und der grossen Anzahl von Strängen zur Unmöglichkeit wird.

*Gunnera macrophylla* Bl., welche sowohl morphologisch wie anatomisch von *G. scabra* sich wesentlich unterscheidet, bietet diese Schwierigkeiten nicht. Das mir zur Verfügung gestellte Alkohol-Material dieser Pflanze wurde von Herrn Professor Dr. K. Goebel im Jahre 1885 auf Java und zwar in Tjiboeroem am Gedéh gesammelt.

Der aufrechte, cylindrisch gestreckte, wenig fleischige und niemals knollenförmig verdickte Stamm der *G. macrophylla* zeigt eine Dicke von 3—4 cm und eine Länge von circa 25 cm. Seine Farbe ist eine grünlichbraune und seine Oberfläche mit feinen rothen Borstenhaaren, sowie ab und zu mit Kork bedeckt. Der Stamm besitzt nur sehr kurze und undeutliche Internodien, wird durch Achselsprosse fortgesetzt und weist, als solche der unteren Blätter, sehr lange und ca. 1 cm starke Ausläufer auf. Die bei *G. scabra* vorkommenden Nebenblätter fehlen der *G. macrophylla*.

Die Blattstellung ist eine spiralige. Die jungen Blätter sind in der Knospenlage stark gefaltet und eingerollt; die Blattzähne sondern reichlich einen stark gerbstoffhaltigen Schleim ab, welcher das junge Blatt vollständig bedeckt. Sind die Blätter entfaltet, so hört die Schleimabsonderung auf und die Lacinien trocknen ein. Die Blätter sind fast nierenförmig, der Rand gekerbt-gezähnt; die Blattspreite ist 60—70 cm lang und ebenso breit. Im Jugendzustand ist das Blatt weich behaart, später erscheinen Blattstiel und Blattrippen rauh. Der stumpfdreikantige Blattstiel erreicht eine Länge von 60—70 cm, sein unterer Theil ist scheidenförmig verbreitert, läuft den Stamm entlang und ist zu beiden Seiten des Blattstiel-Hauptstranges mit wulstigen Erhebungen besetzt.

Die bei der *G. scabra* vorkommenden hakenartigen Emergenzen, welche Blattstiel und Blattrippen bedecken, fehlen der *G. macrophylla*.

Die Inflorescenzen stehen terminal, erreichen eine Länge von 60—90 cm und stellen eine zusammengesetzte Aehre dar. Das Aufblühen geschieht akropetal. Die Blüten der untersten Aehrchen gelangen zuerst zur Entfaltung, alsdann schreitet die Entwicklung der einzelnen Aehrchen nach dem Scheitel des Blütenstandes fort.

Horsfield<sup>1)</sup> giebt an, dass die Blüten der *G. macrophylla* entweder hermaphroditisch oder diklinisch, im letzteren Fall monöcisch sind. Die von mir untersuchten Blüten waren sämmtlich zwittrig.

Das Perianthium ist vierblättrig, der Kelch bildet eine Röhre mit zweilippigem, spitzem, röthlichem Saum. Die Blumenkrone besteht aus zwei zarten, hinfalligen, an der Spitze zerschlitzten Blättern, welche mit den beiden Kelchblättern abwechseln. Staubgefässe sind zwei vorhanden;

1) Horsfield (Bennett-Brown) *Plantae Javanicae rariores*. London 1844, pag. 70 ff.

ie stehen den Blumenblättern opponirt; ihre Theken springen in Längspalten auf.

Die Pollenkörner sind annähernd tetraedrisch gebaut. Ihre Exine ist leib, gefeldert, die Wände doppelt contourirt. Die Exine zeigt drei Oeffnungen, durch welche die Intine mit der Fovilla sich warzenartig nach aussen stülpt. Diejenigen Stellen der Intine, welche ausserhalb der Exine liegen, sind stark verdickt (Fig. I *i*). Intine und Exine sind durch ihre Reaction auf Chlorzinkjod deutlich zu unterscheiden; die Intine nimmt eine violette Färbung an, die Exine bräunt sich.

Die Pollenkörner der *G. macrophylla* und *G. scabra* sind gleich gebaut und haben grosse Aehnlichkeit mit denen von *Bryonia dioica*, welche Luerssen<sup>1)</sup> beschrieben hat.

Der Fruchtknoten ist unterständig, einfächerig, eineiig und besitzt zwei Narben. Die Samenknospe ist hängend und epitrop. Die Frucht ist eine einsamige Drupa, welche von den Eingeborenen Javas als Stimulans gebraucht wird. Der Same ist endospermhaltig, der Embryo sehr klein.

Sowohl bei *G. macrophylla* als auch bei *G. scabra* zeigen sich auf Längs- und Querschnitten in der Stammrinde unregelmässige, dunkelgrüne Flecke, welche sich bei näherer Untersuchung als Nostoc-Colonien erwiesen (Fig. II, III und IV *no*). Ueber das Eindringen des Nostoc in den Stamm von *Gunnera* soll später ausführlich berichtet werden.

Die knollig verdickten Stämme der *Gunnera scabra*, welche zur Vergleichung dienten, waren im hiesigen botanischen Garten gezogen. Ihre Dicke schwankte zwischen 6 und 7 cm, ihre Länge zwischen 15 und 20 cm. Korkbildung trat nirgends auf.

Zweck vorliegender Arbeit soll es sein zu untersuchen:

- 1) den groben anatomischen Bau des Stammes,
- 2) den Verlauf der einzelnen Stränge,
- 3) den gesammten Stammaufbau,
- 4) den feineren anatomischen Bau der einzelnen Stränge,
- 5) die Colleteren und die Stammdrüsen, sowie die Symbiose mit Nostoc

bei *Gunnera macrophylla* Bl.

### Allgemeines über den groben anatomischen Bau des Stammes.

Ein Querschnitt durch den Stamm von *G. macrophylla* ist in natürlicher Grösse in den Figuren II, III und IV wiedergegeben. Man kann deutlich vier grössere Platten, welche peripherisch gestellt sind, unterscheiden. Zwischen diesen, sowie im Inneren des Stammes befinden

1) Luerssen, Zur Controverse über die Einzelligkeit oder Mehrzelligkeit des Pollens der Onagrarien, Cucurbitaceen und Corylaceen (Jahrbücher für wissenschaftliche Botanik 1869–1870, pag. 34 ff.).

sich kleinere und grössere Stränge, von denen einige in Theilung begriffen sind (Fig. III *n*). Die in der Rinde befindlichen, unregelmässigen, grünblauen Flecke sind Nostoc-Colonien (Fig. II, III und IV *no*). Das Querschnittsbild ist also ein von den übrigen Dikotylen sehr abweichendes.

Dem Stamm dicht an liegt der Blattstiel *b* (Fig. II). Dieser besitzt einen centralen, aus vielen Strängen zusammengesetzten Hauptstrang (Fig. II *h*), sowie je zwei stärkere und schwächere Nebenstränge (Fig. II *n* und *f*). Legt man durch denselben Stamm, jedoch an der Stelle, an welcher sämmtliche Stränge des Blattes *b* in den Stamm eingetreten sind, einen Schnitt, so erhält man ein Bild wie es in Figur III wiedergegeben ist. Die Platte 1 (Fig. II) hat sich getheilt und bildet jetzt eine grössere (1) und eine kleinere Platte (2 Fig. III). Die Platten 2 und 3 (Fig. II) sind zu einer grossen Platte 3 (Fig. III) verwachsen. Die Platte 4 (Fig. II) hat sich nicht getheilt, sondern nur eingerollt (Fig. III 4).

Die zarteren Nebenstränge des Blattes *b* (Fig. II *f*) sind in ihrer peripherischen Stellung verblieben (Fig. III *f*), die stärkeren (Fig. II *n*) sind hinter die Platten 1 und 4 getreten und befinden sich in Theilung (Fig. III *n*). Ein Theil der Stränge des centralen Blattstielcyinders (Fig. II *h*) steht in der Peripherie (Fig. III *e*), ein anderer ist bis in die Mitte des Stammes vorgedrungen (Fig. III *i*).

Bei axilen Längsschnitten durch den Stamm sieht man stets zwei seitlich gestellte, grössere Platten, welche hin und wieder miteinander verwachsen. Durch diese Verwachsung werden Stammlücken gebildet, in welchen die Blätter inserirt sind. An diese längsverlaufenden Platten legen sich die Spurstränge der Blätter und der Achselsprosse an, um mit den Platten zu verschmelzen.

Während bei *G. macrophylla* auf Längs- und Querschnitten, ausser den verschiedenen starken Strängen, stets festere Platten auftreten, fehlen die letzteren bei *G. scabra*. Die Stränge der *G. scabra* verwachsen nur auf verhältnismässig kurze Strecken miteinander, variiren nicht sehr in ihrem Durchmesser und durchziehen, sich stark krümmend, den Stamm regellos nach allen Richtungen. Daher erklärt es sich, dass ein Längsschnitt durch den Stamm von *G. scabra* von einem Querschnitt derselben Pflanze nur durch eine geringere Anzahl querverlaufender Stränge unterschieden ist. Durch letztere Thatsache, sowie durch das Fehlen der festen Platten ist *G. scabra* von *G. macrophylla* schon makroskopisch leicht zu unterscheiden.

Die grosse Zahl, sowie die starke Verschränkung der Stränge verhindern bei *G. scabra* ein genaues Verfolgen des einzelnen Stranges. Längs- und Querschnitte, sowie Maceration und Freipräparation führten betreffs des Strangverlaufes zu keinem befriedigenden Resultat.

Günstiger gestalteten sich die Bedingungen bei *G. macrophylla*, und soll im nachstehenden Kapitel über den Strangverlauf derselben eingehender berichtet werden,

### Verlauf der einzelnen Stränge.

Behufs genauer Feststellung des Verlaufes der einzelnen Stränge wurde zuerst die von Naegeli empfohlene Methode der successiven Querschnitte eingeschlagen. Da sich dieses Verfahren für den Stamm von *G. macrophylla* nicht als praktisch erwies, so wurde zur Maceration und zum Freipräpariren geschritten. Ein ca. 15 cm langes Stammstück, welches zehn Minuten in salzsäurehaltigem Wasser behufs Erweichung gekocht war, wurde mittelst des Skalpells von der Rinde und dem Grundparenchym befreit. Letzteres liess sich ziemlich leicht entfernen und haftete nur an denjenigen Stellen fester, an welchen mehrere Stränge zusammentrafen. Nach beendeter Präparation wurde das Skelett durch Eau de Javelle gebleicht und von dem noch anhängenden Grundparenchym befreit. Völlige Entfärbung des Skelettes konnte jedoch erst durch Behandlung mit einer spirituösen Lösung von schwefliger Säure erzielt werden. Fig. V stellt das freipräparirte Stammstück von *G. macrophylla* in natürlicher Grösse dar.

Einzelne Stränge liessen sich nun bis zu ihrer Ansatzstelle genau verfolgen, bei anderen hingegen, speziell bei den quer durch den Stamm absteigenden, war der Verlauf nur auf kurze Stellen sichtbar. Um alle Stränge in ihrer ganzen Ausdehnung freilegen und um genau entscheiden zu können, ob der Stammaufbau nur durch Blattspurstränge oder auch zu gleicher Zeit durch stammeigene Stränge bewirkt wird, wurde ein zweites Stammstück durch einen axilen Längsschnitt halbirt und jede Hälfte für sich nach dem oben angegebenen Verfahren freipräparirt. Das Ergebnis der Untersuchung war folgendes:

#### A. Blattstiel-Hauptstrang.

Jeder Blattstiel besitzt, wie oben erwähnt, einen centralen, zusammengesetzten Hauptstrang und seitlich von diesem je zwei stärkere und schwächere Nebenstränge (Fig. VI—X *h*, *n* und *f*).

Der Hauptstrang bildet bei seinem Eintritt in den oberen Theil des Blattes einen geschlossenen kanellirten Cylinder (Fig. V und VI *h*) und zeigt in seinem Centrum einen sekundären Strang (Fig. V und VI *s*). Dieser letztere legt sich an die inneren Stränge des Hauptstranges (Fig. VIII—X *i*) an und verwächst mit diesen, bevor dieselben in den Stamm eintreten (Fig. X *s*).

Nach dem Stamm zu zerfällt der Hauptstrang, dessen Kanellierungen durch Aneinanderlegen und Verwachsung vieler Stränge gebildet werden, in zwei grössere Stranggruppen, die man als innere (Fig. V und VIII *i*) und äussere (Fig. V und VIII *e*) bezeichnen kann. Beide Stranggruppen sind durch eine Lücke (Fig. V *l*) deutlich getrennt. Der Strangverlauf ist kein gleicher; die inneren Stränge gehen nach dem oberen, die äusseren nach dem unteren Theil der Blattlücke, beide Gruppen legen sich jedoch

nie aussen, sondern stets im Innern des Stammes an grössere Platten an. Sowohl die innere, wie die äussere Stranggruppe spaltet sich in ihrem weiteren Verlaufe, die Stränge isoliren sich und divergiren ungleich nach unten. Die inneren Stränge sind viel länger als die äusseren, verlaufen schief durch den Stamm und legen sich an der, der Blattinsertion entgegengesetzten Seite, an grössere Platten an.

**α. Verlauf der inneren Stränge des Blattstiel-Hauptstranges.**

Die inneren Stränge des Blattstiel-Hauptstranges steigen, das Grundparenchym durchsetzend, schief durch den Stamm ab (Fig. V, Blatt 3 *i*), verwachsen miteinander, sind ab und zu durch kleine querverlaufende Stränge verbunden, trennen sich wieder und legen sich im Innern des Stammes, oberhalb des zweiten tiefer inserirten Blattes (Fig. V, Blatt 1), an die Platten an, um schliesslich mit diesen zu verwachsen.

**β. Verlauf der äusseren Stränge des Blattstiel-Hauptstranges.**

Die äusseren Stränge spalten sich wiederholt nach dem Grunde der Blattlücke zu und zerfallen in mittlere und seitliche Stränge. Die mittleren (Fig. V *m*) verlaufen fast geradlinig d. h. in der Richtung der Blattstielachse, die seitlichen spalten sich und divergiren ungleich nach dem Grunde der Blattlücke zu. Alle äusseren Stränge des Blattstiel-Hauptstranges setzen sich im Innern des Stammes, unmittelbar unterhalb der Blattlücke, in welcher sie stehen, an und verwachsen dort mit den Platten.

Beim Blatt *b* (Fig. II) sind die Blattspurstränge noch nicht in den Stamm eingetreten. Man erkennt deutlich den Blattstiel-Hauptstrang (*h*) und innerhalb desselben den sekundären Strang (*s*), welcher sich bereits getheilt hat und an die innere Stranggruppe von *h* getreten ist. In Figur III sind sämtliche Spurstränge des Blattes *b* in den Stamm eingetreten; die äusseren Stränge (*e*) des Blattstiel-Hauptstranges befinden sich an der Peripherie, die inneren (*i*) im Centrum des Stammes. Beim Stammquerschnitt, welchen Figur IV darstellt, kann man die Spurstränge zweier Blätter (*b* und *B*) noch deutlich verfolgen. Während die inneren Stränge (*i*) des Blattes *b* eben in den Stamm eingetreten sind, sind diejenigen (*J*) des Blattes *B* bereits weiter vorgedrungen und stehen im Begriff sich an die Platten 3 und 4 anzulegen. Bei beiden Blättern sind die äusseren Stränge (*e* und *E*) an der Peripherie des Stammes verblieben.

Fig. VI—X veranschaulicht die Trennung und Verwachsung des sekundären Stranges (*s*) mit den inneren Strängen (*i*) des Blattstiel-Hauptstranges.

**B. Nebenstränge des Blattstiels.**

Die vier Nebenstränge des Blattstiels besitzen in ihrem centralen Theile keinen sekundären Strang und entspringen nie in derselben Blattlücke, in welcher das Blatt steht, zu dem sie gehören. Bis ungefähr zur

Mitte des Blattstiel-Hauptstranges, von welchem sie seitlich gestellt sind, gehen sie geradlinig fort, wachsen dann durch die Platten nach dem Innern des Stammes hindurch, theilen sich, legen sich an die Platten, welche sie durchbrochen haben an, verlaufen auf derselben Seite bis zur Ansatzstelle des vierten tiefer inserirten Blattes und verwachsen dort mit den Platten, an welche sie sich angelegt hatten.

In Figur II und IV Blatt *b* sind die Nebenstränge (*n*) noch ungetheilt und befinden sich vor den Platten 1 und 4. In Figur III Blatt *b* und Figur IV Blatt *B* sind die Nebenstränge (*n* und *N*) hinter die Platten getreten und haben sich getheilt. Der rechte Nebenstrang (*N*) des Blattes *B* (Fig. IV) befindet sich innerhalb der Platte 1 und ist daher noch ungetheilt. Die feineren Nebenstränge (Fig. II—V *f*) theilen sich nicht, wenn sie die Platten durchbrochen haben.

### C. Verlauf der Stränge des Achselsprosses.

In der Achsel eines jeden Blattes befindet sich eine Sprossanlage, welche, wie überhaupt der Stamm und die Blattstiele von *G. macrophylla*, mit einem feinen Haarpelz bedeckt ist. Der Spross stellt eine ruhende Knospe dar, welche erst austreibt, wenn der Stamm seinen Vegetationspunkt verloren hat und dann nur Blätter hervorbringt. Wegen dieses Verharrens des Achselsprosses im Jugendzustand, weist der Stamm von *G. macrophylla* keine Verzweigungen auf. Dasselbe ist auch der Fall bei *Gunnera scabra*<sup>1)</sup> und *manicata*<sup>2)</sup>. Bei den beiden letzteren Pflanzen gelingt es der gärtnerischen Kunst, aus einem Blatt und dem dazu gehörigen Achselspross eine neue Pflanze zu ziehen. Ein Querschnitt durch den Achselspross (Fig. V *ax*) zeigt einen geschlossenen, aus vielen Strängen zusammengesetzten Gefässcyylinder, welcher, nach dem Stamm zu, sich in zwei Stranggruppen, die sich später wieder theilen können, trennt, (Fig. XIII und XIV *ax*<sub>1</sub> und *ax*<sub>2</sub>) und welche letztere dann mit den Stammplatten zu beiden Seiten desjenigen Blattes, zu dem der Achselspross gehört, verwachsen. Fig. XI stellt einen Querschnitt durch den Blattstiel *b* und den Achselspross (*ax*) dar, dessen Gefässcyylinder noch völlig geschlossen ist. Dieser Strangcyylinder entspricht dem Blattstiel-Hauptstrang, jedoch zeigt der erstere nie in seinem centralen Theil einen sekundären Strang. In Figur XII beginnt der Achselspross sich zu theilen, in Fig. XIII ist er in zwei völlig getrennte Stranggruppen (*ax*<sub>1</sub> und *ax*<sub>2</sub>) zerfallen; Figur XIV zeigt eine nochmalige Theilung der Stranggruppe *ax*<sub>1</sub>, während die Gruppe *ax*<sub>2</sub> im Begriff steht mit der Platte (*pl*<sub>2</sub>) zu verwachsen.

Im gleichen Grade wie der Achselspross sich theilt, geschieht dies auch bei der Platte *pl* (Fig. XI). In Figur XII wird die Trennung ein-

1) Reinke, Morphologische Abhandlungen.

2) Illustration horticole 4e série, tome XXVIII, Gand 1831, pag. 40—42.

geleitet, in Figur XIII besteht die Platte schon aus zwei Theilen ( $p/1$  und  $p/2$ ), welche sich in Fig. XIV noch mehr von einander getrennt haben. Durch diese Theilung der Platten entstehen die Stammlücken, in welchen die Blätter und deren Achselsprosse inserirt sind.

### Der Stammaufbau.

Nachdem vorstehend über den Strangverlauf der Blätter und ihrer Achselsprosse berichtet wurde, erübrigt es noch, die Zusammensetzung der Platten und den gesammten Stammaufbau zu erklären.

Die Platten erscheinen bei dem freipräparirten Skelett als Holzkörper, deren Umfang nach der Wurzel zu sich bedeutend vergrössert. Sie können sich theilen und miteinander verwachsen, sowie sich bandartig ein- und aufrollen (Fig. II, III, IV, 1—4). Eine zusammengerollte Platte theilt sich nie durch Einschnürung, sondern rollt sich stets vorher auf und trennt sich dann erst in zwei oder mehrere kleinere Platten.

Die Platten entstehen durch Aneinanderlegen und Verwachsen von Blattspur- und Achselsprosssträngen. Da die Stränge des Achselsprosses bei etwaiger Entwicklung stets in Blätter ausbiegen, so sind auch diese Stränge als Blattspurstränge zu bezeichnen. Mithin nehmen an der Plattenbildung nur Blattspurstränge theil.

Betrachtet man nun eine bestimmte Platte, z. B. die in Figur V mit *A* bezeichnete, so findet man dieselbe aus folgenden Strängen zusammengesetzt:

- 1) aus den äusseren Strängen (*e*) des Blattes 4,
- 2) aus einem Theil der Spurstränge des zum Blatt 4 gehörigen Achselsprosses (*ax*),
- 3) aus den Nebensträngen *f* und *n* des Blattes 3,
- 4) aus den inneren Strängen (*i*) des Hauptstranges des Blattes 3,
- 5) aus einem Theil der äusseren Stränge (*e*) des Blattes 3.

Weil nun ausser den Platten und den einzelnen Blattspursträngen keine anderen Stranggruppen in der *G. macrophylla* vorkommen, so wird der gesammte Stammaufbau dieser Pflanze nur durch Blattspurstränge bewirkt.

Da die Blattinsertion eine sehr dichte ist und jedes Blatt eine grössere Anzahl von Strängen in den Stamm entsendet, so muss die Plattenbildung nach der Wurzel hin an Umfang zunehmen.

### Anatomischer Bau des Stammes und der einzelnen Stränge.

Ein Querschnitt durch den Stamm von *G. macrophylla* zeigt eine verhältnissmässig dünne Epidermis, sowie eine, aus Collenchym und dünnwandigem Sklerenchym gebildete, Rinde, welche ein gleichartiges, parenchymatisches Grundgewebe einschliesst. Dieses letztere enthält Stärke, oxalsaurer Kalk, sowie einen stark gerbstoffhaltigen Schleim.

Bei lebenden Pflanzen ist der Gehalt an Gerbstoff so gross, dass alle Flächen, welche mit dem Messer in Berührung kommen, eine blauschwarze Färbung annehmen. In Chili werden die Rhizome der *G. scabra* wegen ihres Tanninreichthums zum Gerben benutzt. Sämmtliche Schnitte wurden zuerst durch Alkohol von dem grössten Theil der Gerbsäure befreit und dann mittelst Salzsäure aufgehellt.

Im Grundgewebe eingebettet befinden sich die verschiedenen Blattspurstränge und Platten, deren Verlauf oben beschrieben wurde. Im Stamm und in den Blattstielen der *G. macrophylla* sind sowohl kollateral, als auch konzentrisch gebaute Gefässbündel vorhanden. Kollaterale Gefässbündel des Blattstiels treten nur im Blattstiel-Hauptstrang (Fig. XV) und zwar stets an den Gefässring ( $g_1$ ) angelagert auf (Fig. XV *a*). Figur XVI giebt das in Figur XV mit *a* bezeichnete Bündel stark vergrössert wieder. Es sind drei Gefässe ( $g$ ) vorhanden, welche von einer Zellreihe Parenchym ( $hp$ ) umgeben sind, darauf folgt der Siebtheil ( $s$ ), welcher peripherisch gestellt ist. Das ganze Gefässbündel wird von wenig Collenchym gegen das Grundgewebe abgeschlossen. Zu bemerken ist noch, dass der Siebtheil des Gefässbündels (Fig. XV *a*) nach dem Centrum des Stranges zu gelagert ist. Die Anlage der Gefäss- und Siebröhrengruppen erfolgt gleichzeitig.

Ausser diesen kollateralen Strängen kommen bei *G. macrophylla* noch konzentrische und bikollaterale vor.

In Figur XVII ist das Bild eines konzentrischen Stranges der Fruchtspindel wiedergegeben. Der centrale Theil des Bündels wird von drei Gefässgruppen ( $g$ ), welche von Parenchym umschlossen sind, eingenommen; im peripherischen Theil befinden sich drei Siebröhrengruppen ( $s$ ). Nach aussen hin wird der Strang durch wenige collenchymatische Zellen abgeschlossen. Ein Cambiumring ist hier ebensowenig wie bei allen anderen Gefässbündeln von *G. macrophylla* vorhanden, daher ein Dickenwachsthum ausgeschlossen.

Die feineren Blattstiel-Nebenstränge (Fig. II—V *f*) sind ebenfalls konzentrisch gebaut. In ihrem axilen Theil befinden sich jedoch kleine Gefässe, sondern nur Collenchym (Fig. XVIII *c*). Die Gefässgruppen ( $g$ ) sind ringförmig angeordnet und werden durch Parenchym ( $p$ ), welches das innere Collenchym ( $c$ ) mit dem peripherischen ( $pc$ ) verbindet, von einander getrennt. Die Trennung der einzelnen Gefässgruppen ist oft keine scharfe, da das durchsetzende Parenchym in den meisten Fällen nur aus einer Zellreihe besteht. An dieses Parenchym legen sich die Siebröhrengruppen ( $s$ ), im vorliegenden Fall 7, an; auch diese sind durch Parenchym von einander getrennt. Zum Schutz der Siebtheile ist der Strang durch Collenchym und dünnwandiges Sklerenchym gegen das Grundgewebe abgegrenzt. Eine Endodermis ist nicht vorhanden; treten

die feinen Blattstiel-Nebenstränge aber in den Stamm ein, so umgeben sie sich mit einer Stärkescheide.

Die stärkeren Blattstiel-Nebenstränge (Fig. II—V *n*) zeigen denselben Bau wie die feineren, besitzen jedoch schon im Blattstiel eine Stärkescheide und weisen, sowohl im centralen wie peripherischen Theil, einen stärkeren Belag von Collenchym und dünnwandigem Sklerenchym auf. Eine dritte Art konzentrischer Stränge, welche für *G. macrophylla* charakteristisch ist, bilden die Blattstiel-Hauptstränge (Fig. II—V *h*). Jeder Hauptstrang besteht aus drei konzentrischen Gefässringen (Fig. XV *g*<sub>1</sub>, *g*<sub>2</sub> und *g*<sub>3</sub>). Von diesen drei Ringen ist der äussere (*g*<sub>1</sub>) noch geschlossen, während der mittlere (*g*<sub>2</sub>) und innere (*g*<sub>3</sub>) in Theilung begriffen sind. Die Gefässringe *g*<sub>1</sub> und *g*<sub>2</sub> weisen meist drei Reihen von Gefässen auf, während *g*<sub>3</sub> nur eine Reihe besitzt. Die zu *g*<sub>1</sub> und *g*<sub>2</sub> gehörigen Siebtheile *s*<sub>1</sub> und *s*<sub>2</sub> sind nach aussen gelagert, dagegen nimmt *s*<sub>3</sub> die Mitte des innersten Gefässringes (*g*<sub>3</sub>) ein. An der Innenseite des äusseren Gefässringes (*g*<sub>1</sub>) befinden sich, wie oben bereits erwähnt wurde, ab und zu kollaterale Gefässbündel (Fig. XV *a*) angelehnt. Der gesammte Strang wird von Collenchym (*c*), dünnwandigem Sklerenchym (*c*) und einer Stärkescheide (*st*) eingeschlossen.

Was den feineren anatomischen Bau des Blattstiel-Hauptstranges anbetrifft, so ist zu bemerken, dass die Gefässringe (*g*<sub>1</sub> und *g*<sub>2</sub>) aus einzelnen Gefässgruppen bestehen, die gewöhnlich durch eine Zellreihe Parenchym von einander getrennt sind. Die zu diesen Gefässringen gehörigen Siebtheile (*s*<sub>1</sub> und *s*<sub>2</sub>) sind ebenso gelagert, wie diejenigen der Blattstiel-Nebenstränge (vergl. Fig. XVIII *s*). Zwischen dem mittleren (*g*<sub>2</sub>) und äusseren Gefässring (*g*<sub>1</sub>) befindet sich weder Collenchym noch Sklerenchym, sondern nur Grundparenchym (Fig. XV *p*). Abweichend von den bisher beschriebenen concentrischen Strängen ist der innerste (*g*<sub>3</sub>) des Blattstiel-Hauptstranges (Fig. XV) gebaut. In Figur XIX ist derselbe (*g*<sub>3</sub>) vollständig gezeichnet, während der Gefässring *g*<sub>2</sub> nur durch einige Gefässbündel angedeutet wurde. Der Strang *g*<sub>3</sub> ist nicht geschlossen, sondern mit Parenchym durchsetzt, welches das, in seinem centralen Theil befindliche, Collenchym (*c*) mit dem Grundgewebe (*p*) verbindet. Das Collenchym theilt den Siebtheil in verschiedene Gruppen, im vorliegenden Fall in sechs. Zwischen den Gefässringen *g*<sub>3</sub> und *g*<sub>2</sub> befindet sich, ebenso wie zwischen *g*<sub>2</sub> und *g*<sub>1</sub>, nur parenchymatisches Grundgewebe (*p*, Fig. XV und XIX). Ist es nun an und für sich schon merkwürdig, dass bei *G. macrophylla* collaterale und concentrische Gefässbündel vorkommen, so muss es noch um so mehr auffallen, wenn bei ein und demselben Organ dieser Pflanze verschiedene Bündel auftreten. Der Blattstiel-Hauptstrang besitzt erstens collaterale Gefässbündel (Fig. XV *a*), zweitens concentrische (Fig. XV *g*<sub>1</sub>, *g*<sub>2</sub> und *g*<sub>3</sub>). Diese letzteren zerfallen wieder in zwei Gruppen, von denen die eine durch *g*<sub>1</sub> und *g*<sub>2</sub>, die andere

von  $gs$  gebildet wird; bei der ersten umschliesst der Siebtheil die Gefässe, bei der zweiten die Gefässe ( $gs$ ) den Siebtheil ( $ss$ ).

Trotzdem *G. scabra* im Stamm eine viel grössere Anzahl von Strängen, als *G. macrophylla* aufweist, zeigen sie doch alle denselben anatomischen Bau, sind also anatomisch wie morphologisch gleichartig. Die Stränge der *G. scabra* gleichen in ihrem Bau der Strangform von *G. macrophylla*, welche in Figur XVII wiedergegeben ist. Der axile Theil des Bündels wird von Gefässen der peripherische von den Siebtheilen eingenommen, der ganze Strang von einigen Zellreihen collenchymatischen Gewebes eingeschlossen.

In noch höherem Maasse wie beim Blattstiel-Hauptstrang treten die Verschiedenheiten der einzelnen Stränge in den Platten von *G. macrophylla* hervor. Wie vorher nachgewiesen wurde, entstehen die Platten durch Aneinanderlegen und Verwachsung von Blattspursträngen, welche sich jedoch nicht gleichmässig verhalten, sobald sie in den Stamm eintreten. Die feineren Blattstiel-Nebenstränge (Fig. II—V *f*) umgeben sich mit einem stärkeren Collenchym und theilen sich nicht, die stärkeren (Fig. II—V *n*), sowie alle Hauptstränge (Fig. II—V *h*), rollen sich auf, theilen sich und verwachsen miteinander. Untersucht man eine Platte genauer, so findet man, dass dieselbe zum grössten Theil bicollateral gebaut ist (Fig. XXI). Die Peripherie nimmt das collenchymatische Gewebe und das dünnwandige Sklerenchym (*c*) ein, dann folgen die Siebtheile (*s*), darauf parenchymartiges Grundgewebe (*p*) und schliesslich die Gefässe (*g*). Der Bau der Platte ist aber durchaus kein gleichmässiger. Während sie z. B. bei *A* (Fig. XXI) regelmässig bicollateral gebaut ist, zeigt sie bei *C* zwischen den Gefässen nochmals Siebtheile (*s*) und Collenchym (*c*), bei *D* sogar einen vollständig erhaltenen concentrischen Strang. An der Innenseite der Platte befinden sich einige concentrische und collaterale Stränge, welche im Begriff sind, mit der Platte zu verwachsen (Fig. XXI 1—5). Der collaterale Strang 3 ist aus einem concentrischen dadurch hervorgegangen, dass der letztere sich aufgerollt hat. Die Eigenschaft des Ein- und Aufrollens besitzen auch die Platten. In Figur II ist die Platte aufgerollt, in Figur III dieselbe eingerollt. Während in Figur II mehrere Stränge in der Nähe der Platte 4 stehen, befinden sich diese Stränge in Figur III im Centrum der Platte 4. Nimmt man nun an, dass die Platte, welche in Figur XXI wiedergegeben ist, sich einrollt, so werden die Stränge 1—5 von der Platte eingeschlossen und man erhält ein Bild, welches demjenigen der Platte 4 (Fig. III) entspricht.

Während bei allen Strängen der *G. macrophylla* Siebtheile und Gefässe nur durch eine Zellreihe Parenchym getrennt sind, finden sich bei den bikollateral gebauten Strängen der Platten und des Ausläufers mehrere Zellreihen vor (Fig. XXII *e*), welche aus einer Zellreihe durch Theilung hervorgegangen sind. Wie oben erwähnt, besitzt die *G. macrophylla*

keinen Cambiumring, daher auch kein Dickenwachsthum. Die Theilung und Streckung des zwischen den Gefässen und Siebtheilen liegenden Parenchyms kann immerhin als eine Andeutung eines cambialen Wachstums aufgefasst werden.

Im Ausläufer der *G. macrophylla* treten nur bikollaterale Stränge auf. Es ist ein Gefässring vorhanden, dessen einzelne Gefässgruppen sich ab und zu von einander trennen. Man erhält demnach ein Bild, als ob zwei concentrische Gefässringe vorhanden sind, welche an einigen Stellen mit einander anastomosiren. Das Centrum des Ausläufers (Fig. XX) wird von Grundparenchym (*p*) eingenommen, daran schliesst sich das innere Collenchym (*c<sub>2</sub>*), der innere Siebtheil (*s<sub>2</sub>*), die Gefässe (*g*), dann der äussere Siebtheil (*s<sub>1</sub>*), und das äussere Collenchym (*c<sub>1</sub>*). Treten einzelne Gefässgruppen auseinander, so wird der zwischen ihnen liegende Raum durch Collenchym (Fig. XX *c<sub>2</sub>*) ausgefüllt. Auch bei den bikollateralen Strängen des Ausläufers hat ein secundäres Wachsthum des zwischen den Gefässen und den Siebtheilen gelegenen Parenchyms stattgefunden.

Die Seitenachsen, wie die Hauptachse der Fruchtspindel, besitzen nur concentrische Bündel. Die einfachsten Bündel der Seitenachsen zeigten in ihrem centralen Theil drei Gefässgruppen und in ihrem peripherischen drei Siebgruppen (vergl. Fig. XVII *g* u. *s*). Treten diese Bündel in die Hauptachse ein, so entsteht in der Mitte, wie in der Peripherie des Stranges, Collenchym. Der Bau der Bündel entspricht dann dem der feineren Blattstiel-Nebenstränge (Fig. XVIII), jedoch mit der Ausnahme, dass das Centrum des Stranges nicht vollständig, sondern nur theilweise von Collenchym erfüllt ist (Fig. XXIII). Ein Querschnitt durch die Fruchtspindel-Hauptachse zeigt, dass alle Stränge peripherisch gestellt sind, und zwar die stärkeren nach aussen (Fig. XXVI). Eine Plattenbildung tritt nicht auf, wohl aber eine Verwachsung einzelner Stränge; letztere geht folgendermassen vor sich. Das Collenchym verlässt den centralen Theil des Bündels, sprengt den Gefässring und verwächst mit dem Collenchym des zweiten Bündels, welches auf dieselbe Art und Weise seinen Gefässring gesprengt hatte. Darauf verschmelzen die beiden Gefässringe mit einander, und es entsteht wieder ein concentrisches Bündel, in dessen centralem Theil sich jetzt zwei Collenchymgruppen befinden (Fig. XXIV *c<sub>2</sub>*). Tritt an das letztere Bündel noch ein neues heran, so geht die Verwachsung auf die gleiche Weise vor sich, und es resultirt ein concentrisches Bündel, welches drei Collenchymgruppen besitzt (Fig. XXV *c<sub>2</sub>*). Je mehr Bündel mit einander verwachsen, desto mehr geht die Gestalt des neuen Bündels von einem Kreis zu einer Ellipse über und um so grösser werden auch die Collenchymgruppen (vgl. *c<sub>2</sub>* Fig. XXIII—XXV).

Wie bereits nachgewiesen wurde, rollen sich alle Stränge, mit Ausnahme der feineren Blattstiel-Nebenstränge, sobald sie in den Stamm eintreten, auf. Denkt man sich nun einen concentrischen Strang gesprengt

und aufgerollt, so erhält man eine Platte von kollateralen Strängen (Fig. XXI 3); legen sich zwei solcher Platten so aneinander, dass ihre Gefässe mit einander verwachsen, so resultirt ein bikollateraler Strang (Fig. XXI 4). Die Bildung von bikollateralen Strängen kann man sich auch dadurch erklären, dass zwei Stränge, von der Form der in Figur XXV wiedergegebenen, sich seitlich aneinanderlegen, die Siebtheile auseinanderweichen und die Gefässgruppen mit einander verwachsen. Wiederholt sich dieser Process öfter, so erhält man schliesslich einen Kranz von bikollateralen Strängen, wie solche für den Ausläufer von *G. macrophylla* charakteristisch sind (Fig. XX). Nimmt man an, dass, während der Verwachsung zweier aufgerollter concentrischer Bündel, mehrere geschlossene concentrische Stränge dazwischen treten, so bilden sich bikollaterale Stränge, welche concentrische Bündel eingeschlossen haben. Somit fände die eigenthümliche Plattenbildung bei *G. macrophylla* eine Erklärung.

Ihrem anatomischen Bau nach gehören die *Gunnera*-Arten zu den anomalen Dikotyledonen, welche nach de Bary<sup>1)</sup> in solche mit markständigen und solche mit rindenständigen Bündeln eingetheilt werden. Die ersteren zerfallen wieder in zwei Unterabtheilungen, von welchen die einen nur Blattspurstränge, die anderen ausserdem noch stammeigene Stränge aufweisen. Diejenigen, welche nur Blattspurstränge besitzen, werden unterschieden 1) in solche, deren Spurstränge beim Eintritt in den Stamm zu einem typischen Ringe geordnet sind, 2) in solche, deren Spurstränge beim Eintritt in den Stamm in ein nach allen Seiten verästeltes Bündelnetz übergehen. Zu der ersten Unterabtheilung sind die Cucurbitaceen, Amarantaceen, Piperaceen, einige krautige Berberideen, sowie wenige *Phytolacca*-, *Papaver*- und *Thalictrum*-Arten zu rechnen. Zur zweiten Abtheilung gehören die *Gunneraceen*, *Nymphaeaceen* und einige *Primula*arten, besonders *Primula*, *Auricula*. Während bei den *Nymphaeaceen* und *Primulaceen* ein axiler Strang vorhanden ist, fehlt ein solcher bei den *Gunneraceen*. Bei den *Primulaceen* verlaufen die Blattspurstränge im Stengel eine Strecke nebeneinander und verwachsen dann zu einem Ring, der aus 15—20 Bündeln gebildet wird. Bei den *Nymphaeaceen* durchziehen die Stränge den Stamm regellos wie bei *G. scabra*; auf dem Querschnitt tritt zwischen Rinde und Mark ein Kreis von getrennten Strängen auf, der in drei, seltener in vier Parthien, ähnlich der Plattenbildung bei *G. macrophylla*, geschieden ist. Die *Araliaceen*, in deren Nähe die *Gunneraceen* jetzt im System gestellt werden, haben innerhalb des typischen Dikotyledonen-Ringes einen zweiten, der aus kleinen entfernt stehenden Bündeln gebildet wird. Nach Sanio kommen bei *Aralia racemosa* noch einzelne Bündel im Mark vor, welche nicht in Blätter ausbiegen und später als ein Ringbündel ausgebildet werden. Die äusseren markständigen Bündel sind hinsichtlich der Vertheilung von Ge-

1) de Bary, Vergleichende Anatomie, Leipzig 1877, pag. 259 ff.

fässen und Siebröhren umgekehrt wie die des Ringes. Letztere Thatsache würde also der Anordnung von Gefässen und Siebtheilen im Blattstiel-Hauptstrang von *G. macrophylla* entsprechen.

Eine biologische (anatomisch-physiologische) Deutung der eigenthümlichen Anatomie von *G. macrophylla* lässt sich geben. Der Stamm findet seinen Halt durch die Bildung der festen Holzplatten, welche durch Zusammentreten der Stränge, nicht wie sonst durch secundäres Dickenwachsthum, entstehen. Dies mag auch die geringe Ausbildung des Sklerenchyms erklären, während die Lage des Collenchyms im Innern der Platten und Stränge eine höchst sonderbare ist.

Was die Einreihung der Gunneraceen in das System betrifft, so sind dieselben zu den Urticineen <sup>1)</sup>, Onagraceen <sup>2)</sup>, Halorhagidaceen <sup>3)</sup> und Araliaceen <sup>4)</sup> gestellt worden. Gegen die Einreihung in die Urticineen spricht der unterständige Fruchtknoten und das gerade hängende epitrope Eichen. Mit den Halorhagidaceen haben die Gunneraceen den Abortus in der Blütenregion, speciell mit *Hippuris* den einfächerigen Fruchtknoten und das hängende Eichen gemeinsam. Die grösste Verwandtschaft haben die Gunneraceen mit den Corneen. Ebenso wie die letzteren sind sie nach der Vierzahl resp. Zweizahl gebaut, der Fruchtknoten ist unterständig, die Frucht eine Drupa; wegen des Abortus in der Blüthe sind sie auch zu den Araliaceen gestellt worden. Kellermann <sup>5)</sup>, der die Entwicklungsgeschichte der Blüthe von *Gunnera chilensis* Lam. verfolgt hat, sagt:

„Die Gattung *Gunnera* verräth der Entwicklungsgeschichte nach „genetische Verwandtschaft mit den Umbelliferen und Araliaceen, „ist bezüglich des Pollens den Onagraceae ähnlich, aber sie kann „unter der plausiblen Hypothese von der Unterdrückung gewisser „Blüthentheile mit wenig Schwierigkeiten bei den Halorhagidaceae „— zwischen den echten Halorhagidaceae einerseits und *Hippuris* „andererseits — untergebracht werden“.

Die Anatomie, wie der Blütenbau, speciell der grosse anatomische Unterschied zwischen zwei Species (*G. scabra* und *macrophylla*) deuten indess darauf hin, dass die Gattung *Gunnera* eine sehr alte ist, deren Verwandte ausgestorben und deren Anreihung an andere lebende Formen deshalb nach unseren heutigen Kenntnissen kaum durchzuführen ist.

1) Endlicher, *Genera plantarum*, pag. 285 und Leunis-Frank, *Synopsis*, pag. 539.

2) Baillon, *Histoire des Plantes*, tome VI, pag. 458–89.

3) Eichler, *Syllabus der Vorlesungen über specielle und medicin.-pharmaceut. Botanik*, Berlin 1880.

4) Miquel, »*Flora von Nederlandsch Indie*« und Lindley, *The vegetable kingdom*, pag. 781.

5) W. A. Kellermann, *Die Entwicklungsgeschichte der Blüthe von Gunnera chilensis* Lam. *Inaugural-Dissertation*, Zürich 1881.

### Die Colleteren, die Stammdrüsen und die Symbiose mit Nostoc.

Reinke<sup>1)</sup> wies für *Gunnera scabra* drei verschiedene Arten von Secretionsorganen nach:

- 1) die Blattzipfel (Lacinien),
- 2) die Colleteren und
- 3) die Stammdrüsen.

*G. macrophylla* besitzt gleichfalls diese Arten, jedoch sind dieselben mehr oder weniger von denjenigen der *G. scabra* verschieden. Legt man einen Flächenschnitt durch die Oberseite einer Lacinie von *G. macrophylla*, so bemerkt man, dass dieselbe von vielen Spaltöffnungen bedeckt ist, welche durch die grossen, in ilren Schliesszellen enthaltenen, Stärkekörner besonders auffallen. Ein axiler Längsschnitt durch die Lacinie zeigt an der Oberfläche die Spaltöffnungen, darunter kleinzelliges Parenchym, sowie die Gefässstränge. Unterhalb des letzteren befindet sich nur weitmaschiges Parenchym, welches Stärke und oxalsauren Kalk enthält. Die Unterseite der Lacinie besitzt nur wenige Spaltöffnungen. Reinke<sup>2)</sup> führt an, dass das feinzellige Parenchym mit hyalinem Schleim erfüllt sei, welcher in die Intercellularräume gelange und durch die Spaltöffnungen secernirt würde.

Da lebende Blätter der *G. macrophylla* nicht zu Gebote standen, der Bau der Lacinien aber der gleiche wie bei *G. scabra* war, so wurden mit lebenden Blättern der letzteren Controllversuche gemacht. Zu diesem Zweck wurde ein junges Blatt von *G. scabra* in den oberen Theil einer U-förmig gebogenen Glasröhre luftdicht eingesetzt, der Schenkel mit Wasser gefüllt, und das letztere unter Quecksilberdruck gestellt.

Während des Versuches würden die Lacinien, welche vorher von dem anhaftenden Schleim befreit worden waren, einer genaueren Beobachtung unterworfen. Es ergab sich, dass eine Schleimabsonderung an den Lacinien stattfand; die mikroskopische Untersuchung zeigte, dass sich in den Intercellularräumen des feinzelligen Parenchyms, sowie ab und zu in den Spaltöffnungen, hyaliner Schleim befand. Die Spaltöffnungen der Lacinien von *Gunnera* sind mithin nicht als Athmungsorgane, sondern als Wasser- resp. Schleimspaltungen zu bezeichnen. Sobald das Blatt sich entfaltet hat, hört die Schleimabsonderung auf; die anfangs röthlichen Lacinien nehmen eine schwarze Farbe an und trocknen ein.

Die an dem Blattstiel und den Blattrippen von *G. scabra* vorkommenden stachelartigen Emergenzen fehlen bei *G. macrophylla*, dagegen zeigt der Blattstiel der letzteren an seiner scheidenartig verbreiterten Basis, zu beiden Seiten des Blattstiel-Hauptstranges, wie bereits oben erwähnt wurde, wulstige Erhebungen. Diese Erhebungen erweisen sich

1) Reinke, Morphologische Abhandlungen.

2) Reinke, Morphologische Abhandlungen, pag. 77 ff.

bei genauerer Untersuchung als Gruppen von zahlreichen Spaltöffnungen, deren Schliesszellen hoch über die Epidermis emporgewölbt sind.

Die zweite Art der Sekretionsorgane bilden die Colleteren, welche sich sowohl am Blattrande, als auch auf der Ober- und Unterseite des Blattes befinden. Auf der Blattunterseite treten sie in grösserer Anzahl an den Blattrippen auf. Bei *G. macrophylla* sind die Colleteren kugelig gebaut und ihre Zellen fächerförmig gestellt (Fig. XXVII). Im Jugendzustand sind die Zellen von dichtem Inhalt erfüllt, welcher sich während des Wachstums der Drüsen immer mehr aufhellt. Tritt die Colletere in Function, so quillt ihre Membran stark auf, die Cuticula (c. Fig. XXVII und XXVIII) wird emporgehoben, zerreissst schliesslich und der Schleim gelangt ins Freie. Was die Entstehung dieser Colleteren betrifft, so ist zu bemerken, dass an der ersten Anlage gewöhnlich drei Epidermiszellen theilnehmen, welche stark nach aussen wachsen; später treten einige der dicht unter der Epidermis gelegenen, parenchymatischen Zellen hinzu und bilden den Fuss der Colleteren (Fig. XXVII f). Diese kugeligen Colleteren kommen bei *G. scabra* auch vor, befinden sich jedoch dort nie an den Blattrippen, sondern meist an den Blatträndern und auf der Blattoberfläche. An den Blattrippen der *G. scabra* stehen ebenfalls Colleteren, diese sind aber viel grösser als die kugeligen und unterscheiden sich von den letzteren dadurch, dass ihre fächerförmig gestellten Zellen nach aussen in je einen Zipfel endigen (Fig. XXIX). Die Anlage dieser spitzen Colleteren erfolgt genau so wie die der kugeligen. Die Colleteren stellen, ebenso wie die Lacinien, ihre Thätigkeit ein, sobald das Blatt entfaltet ist; an älteren Blättern sind keine Colleteren vorhanden. Der Schleim der Lacinien, sowie der der Colleteren, reagirt stark auf Gerbsäure, ist hell und zähflüssig.

Die Blätter der *G. scabra* besitzen, ausser den bei *G. macrophylla* ebenfalls vorkommenden röthlichen einzelligen Trichomen, noch grosse vielzellige Drüsenzotten (Fig. XXX). Dieselben entstehen aus Epidermiszellen und scheinen auch Schleim abzusondern, denn während sie bei jüngeren Blättern straff und mit hellem Inhalt versehen sind, zeigen sie bei älteren, ausgewachsenen Blättern eine bräunliche Färbung und sind eingeschrumpft.

Die eigenthümlichste Art dieser schleimabsondernden Organe bilden die Stammdrüsen, welche gleichzeitig mit Blättern aus dem Meristem des Vegetationspunktes entstehen. Ihre Anlage und Anordnung, bezüglich ihrer Stellung zu den Blättern, ist dieselbe wie bei *G. scabra*. Die Stammdrüsen entstehen endogen in dem Zwischenraum von je zwei Blättern, und zwar tritt zuerst je eine Drüse auf, zu welcher später eine zweite und dritte kommt. Jede Drüse weist mehrere Zipfel auf, welche durch Schleimkanäle von einander getrennt sind. Die fertig ausgebildeten Stammdrüsen sind nur von der Epidermis bedeckt. Beginnt die Drüse

ihre Thätigkeit, so quellen die obersten Zellen der Drüsenzäpfel auf, lösen sich ab und verschleimen. Durch den Druck der Schleimmassen wird die Epidermis stark emporgetrieben und schliesslich gesprengt (Fig. XXI e). Sobald dies geschehen, schreitet die Verschleimung und Lostrennung der übrigen Drüsenzellen schnell fort. Der Schleim ist zähe, durchsichtig, reagirt stark auf Gerbsäure und ist von vielen Nostocfäden durchzogen. So lange eine Drüse noch von der Epidermis bedeckt wird, ist, weder in den Schleimcanälen noch in dem Schleim, keine Nostoczelle zu finden. Wird die Epidermis durchbrochen, so sind auch sofort im Schleim Nostocfäden vorhanden. Am besten kann man diese Beobachtung an den jungen, in der Nähe des Vegetationspunktes befindlichen, Drüsen machen. Legt man einen Querschnitt durch eine junge Stammknospe, so bemerkt man im Stamm zwischen den einzelnen Blättern grüne, unregelmässige Flecke, welche an Grösse zunehmen, je weiter sie vom Vegetationspunkt entfernt sind. Diese grünen Flecke werden von Nostocfäden gebildet, welche sich später zu grossen Kolonien vereinigen.

Reinke stellte das Vorkommen einer Nostockart in den Stämmen von *Gunnera scabra*, *manicata* und *Perpensum fest*; Treub <sup>1)</sup> fand zuerst den Nostoc in *Gunnera macrophylla*. Der in der *Gunnera* vorkommende Nostoc hat die grösste Aehnlichkeit mit dem von Janczewski <sup>2)</sup> im Laube von *Blasia* und *Anthoceros* gefundenen Nostoc *lichenoides*. Da jedoch Reinke <sup>3)</sup> den in der *Gunnera* lebenden Nostoc nicht vollständig mit einer der bisher bekannten Nostocarten übereinstimmend fand, so stelle er ihn als besondere Art auf und nannte ihn Nostoc *Gunnerae*; eine Bezeichnung welche der Kürze halber — ohne über den specifischen Werth derselben irgend etwas aussagen zu wollen — auch hier beibehalten werden mag.

Was das Eindringen des Nostoc *Gunnerae* in den Stamm von *Gunnera macrophylla* betrifft, so wurde folgende Beobachtung gemacht. Die Nostocfäden gelangen durch die Schleimcanäle (Fig. XXXI s) in die Drüse selbst und ergreifen zuerst von dem, durch Verschleimung einzelner Drüsenzellen gebildeten, freien Raum Besitz (Fig. XXXII no und Fig. XXXIII no). Von dort aus schieben sich einzelne Nostocfäden in die Intercellularräume des die Drüsen umgebenden stärkehaltigen Parenchyms vor. Tingirt man einen, durch die secernirende Stammdrüse und das diese umgebende Parenchym gelegten, Längsschnitt mit Chlorzinkjod, so färben sich die Nostocfäden braun, die Zellwände des Rindenparenchyms violett und die in letzterem enthaltene Stärke tiefblau. Zuerst fällt es

1) M. Treub, Nostoccolonien in *Gunnera macrophylla* Blum. (Nederlandsch kruidkundig Archief 2. Ser. 3 Deel. 4. Stuck.

2) Janczewski, Zur parasitischen Lebensweise des Nostock *lichenoides* (Botan. Zeitung 1872 pag. 73.

3) Reinke, Morphologische Abhandlungen,

dem Beobachter auf, dass überall da, wo Nostocfäden in das Parenchym eingedrungen sind, Stärkekörner nicht mehr vorkommen. Ferner ist man mit Hilfe der Tingirung im stande festzustellen, ob eine Zellwand vorhanden ist oder nicht, zumal die braunen Nostocfäden sich scharf von den violetten Zellwänden abheben.

Gelangt ein Nostocfaden in den Interzellularraum des stärkehaltigen Parenchyms, so legt er sich der Zellwand dicht an. Sobald dies geschehen, ist mit Hilfe von Chlorzinkjod die Zellwand nicht mehr nachzuweisen. Während z. B. die Zellwände 1, 2 und 3 der Zelle *a* (Fig. XXXIV) deutlich auf Chlorzinkjod reagierten, thaten dies die Zellwände 4 und 5, welche mit Nostoc in Berührung gekommen waren, nicht mehr. Es muss also in Folge der Einwirkung des Nostoc eine Auflösung oder Verschleimung der Zellwände 4 und 5 stattgefunden haben, denn der Nostoc dringt nun in das Innere der Zelle, löst die darin enthaltene Stärke auf und füllt alsbald die ganze Zelle aus. Darauf schieben sich wieder einzelne Nostocfäden in die Interzellularräume der benachbarten Zellen vor und zerstören auf's Neue die nächsten Zellwände (Fig. XXXIV *b*). Durch diesen Vorgang bilden sich grosse Nostoc-Colonien, wie solche in Figur XXXIV *no* wiedergeben sind. Bei *G. macrophylla* dringen die Nostocfäden durch die ganze Rinde bis zu den peripherisch gestellten Platten vor; im Innern des Stammes waren jedoch nie Nostoc-Colonien vorhanden.

Ueber das Eindringen des Nostoc in den Stamm von *G. scabra* berichtet Reinke<sup>1)</sup> folgendes:

„Die Zellen nun, welche das Gewebe am Grunde der Schleim-  
 „canäle bilden, sind vor den meisten Parenchymzellen im Stamm  
 „von *G. scabra*, an denen man in der Regel keine Tüpfelbildung  
 „wahrnimmt, dadurch ausgezeichnet, dass sie theilweise mit ansehn-  
 „lichen Tüpfeln versehen sind. Diese Tüpfel sind von verschiedener  
 „Grösse und Umriss, oft dicht nebeneinander liegend, aber stets so  
 „viel ich betrachte, ursprünglich wenigstens, durch eine zarte  
 „Membran geschlossen. Diese Tüpfel sind der einzig erfindliche  
 „Weg für die Algen um in das Innere der Zellen zu gelangen. Den  
 „Process des Eindringens selbst durch die Zellwand hindurch ist  
 „mir nicht gelungen zu beobachten; entweder sah ich bereits einzelne  
 „Nostocfäden zusammengekrümmt im Innern der Zellen liegen oder  
 „letztere waren noch leer. . . . Die Algen zeigten im Innern der  
 „Zellen eine weit üppigere Wucherung, als in den Interzellular-  
 „räumen, den Schleimcanälen oder gar zwischen den feinen Zipfeln  
 „der Drüse. Ob nun an den Tüpfeln, durch welche die Algen  
 „eindringen, die zarte Membran zerrissen war, oder ob sie erst von

1) Morphologische Abhandlungen pag. 94.

„der Alge durchbrochen, beziehungsweise aufgelöst wird, lasse ich dahingestellt, doch spricht die Beobachtung eher für Letzteres“.

Das Eindringen des *Nostoc* in die Stammrinde von *G. scabra* wurde an lebenden Exemplaren, welche im hiesigen botanischen Garten gezogen waren, verfolgt. Während bei *G. macrophylla* innerhalb des Rindencollenchyms keine getüpfelten Zellen vorhanden sind, wurden solche bei *G. scabra*, wie Reinke bereits beobachtet, vorgefunden. Unterhalb dieser Tüpfelzellen befindet sich auch bei *G. scabra* stärkehaltiges Grundgewebe, in welchem die einzelnen concentrischen Bündel verlaufen. Es konnte nun auch für *G. scabra* festgestellt werden, dass die *Nostoc*fäden nicht allein in die Tüpfelzellen, sondern auch in die stärkehaltigen Parenchymzellen eindringen, und dass auch bei den letzteren ein Fehlen der Stärke mit dem Auftreten von *Nostoc* Hand in Hand geht. Es steht auch hier ausser Frage, dass der *Nostoc* die Zellwand auflöst. Das von Reinke constatirte üppigere Wachsthum des *Nostoc Gunnerae* in den Rindenzellen ist auf den Verbrauch der Stärke zurückzuführen.

Haben die Stammdrüsen ihre Thätigkeit eingestellt, so schliessen sich die Schleimcanäle, und die *Nostoc*-Colonien sind nun von allen Seiten durch Grundparenchym eingeschlossen.

Die Frage, ob es sich beim *Nostoc Gunnerae* Reinke in den Stämmen der *Gunnera*-Arten, ähnlich wie beim *Nostoc lichenoides* <sup>1)</sup> im Laube von *Blasia* und *Anthoceros*, von *Anabaena* <sup>2)</sup> in *Azolla* oder von *Chlorochytrium Lemnae* <sup>3)</sup> in *Lemna trisulca* um wirklichen Raumparasitismus <sup>4)</sup> handelt, muss mit Nein beantwortet werden. Die Auflösung der Zellwände und der Stärke deutet darauf hin, dass der *Nostoc Gunnerae* die *Gunnera*pflanzen nicht nur als besonders geeignete Wohnstätte benutzt, sondern auch auf Kosten der Pflanze lebt; ausserdem ist der *Nostoc Gunnerae* oft so weit von der Stammoberfläche entfernt, dass seine Assimilationsfähigkeit, wenn auch nicht völlig aufgehoben, so doch mindestens eine sehr beschränkte ist. Dem *Nostoc Gunnerae* ähnlich verhält sich eine *Siphonoe* *Phyllosiphon Arisari* Kühn <sup>5)</sup>, welche in das Blatt von *Arisarum vulgare* (einer Aroidee) eindringt, die Zellwände und die Stärke auflöst und das Chlorophyll zerstört, ferner die *Mycoidea parasitica*

1) Janczewski, Zur parasitischen Lebensweise des *Nostoc lichenoides* (Botan. Zeitung 1872, pag. 73).

2) Strassburger, Ueber *Azolla*. Jena 1873.

3) Cohn, Ueber parasitische Algen (Beiträge zur Biologie der Pflanzen Bd. I, Heft II, pag. 87).

4) Klebs, Beiträge zur Kenntniss niederer Algenformen (Botan. Zeitung 1881, pag. 249 ff.).

5) Ueber eine neue parasitische Alge *Phyllosiphon Arisari* von Jul. Kühn (Sitzungsbericht der naturforsch. Gesellschaft, Halle 1878).

Cunningham <sup>1)</sup>, welche in den Blättern von *Camellia* auffallende Verwüstungen anrichtet. Wenn nun auch der *Nostoc Gunnerae* Reinke keine directen Zerstörungen, wie die beiden oben genannten parasitischen Algen, verursacht, so lebt er doch mindestens zum Theil auf Kosten der *Gunnera*-pflanzen. Somit würde der *Nostoc Gunnerae* die Grenze zwischen Raumparasitismus und echten Parasitismus bilden.

---

**Vergleichende Uebersicht der hauptsächlichsten Unterscheidungsmerkmale zwischen *Gunnera macrophylla* Bl. und *Gunnera scabra* R. P.**

1. Stamm.

*G. macrophylla*: Cylindrisch, lang gestreckt, Internodien angedeutet, ab und zu mit Kork bedeckt. Durchmesser 3—4 cm, Plattenbildung vorhanden.

*G. scabra*: Knollenförmig verdickt, fleichig. Durchmesser 6—7 cm. Internodien, Kork und Plattenbildung fehlen.

2. Blattstiel.

*G. macrophylla*: Stumpf dreikantig, am Stamm herablaufend, an der Basis scheidenartig verbreitert, mit roten Borstenhaaren und wulstigen Erhebungen (Spaltöffnungen) bedeckt. Hakenartige Emergenzen fehlen. Auf dem Querschnitt stets ein centraler Hauptcylinder und seitlich von diesem je zwei stärkere und feinere Nebenstränge sichtbar. Spurstränge kollateral oder concentrisch.

*G. scabra*: Rund mit hakenartigen Emergenzen bedeckt. Wulstige Erhebungen (Spaltöffnungen) fehlen. Basis nicht scheidenartig verbreitert, Stiel nicht am Stamme herablaufend. Auf dem Querschnitte keine Differenzierung zwischen Haupt- und Nebensträngen. Alle Stränge concentrisch, auf dem Querschnitt unregelmässig vertheilt.

3. Ausläufer.

*G. macrophylla*: vorhanden, circa 1 cm. stark.

*G. scabra*: fehlt.

4. Stipulae.

*G. macrophylla*: fehlen.

*G. scabra*: vorhanden.

---

1) Cunningham, On Mycoidea parasitica, a new Genus of Parasitic Algae (Transactions of the Linnean Soc. of London, II. Ser. vol. I, 1880).

## Erklärung der Tafeln.

Figur I. *Pollenkorn von Gunnera macrophylla.*

*e* = Exine, *i* = Intine.

Figur II–IV. *Stammquerschnitt (natürliche Grösse) von G. m.*

1–4 Stammplatten, *no* = Nostoc-Colonien, *b* = Blattstiel, *h* = Blattstiel-Hauptstrang, *s* = secundärer Strang des Blattstiel-Hauptstranges *h*, *e* = äussere, *i* = innere Stränge des Blattstiel-Hauptstranges *h*, *n* = stärkere, *f* = schwächere Nebenstränge des Blattstiels *b*, *N* = stärkere, *F* schwächere Nebenstränge des Blattstiels *B*, *E* = äussere, *I* = innere Stränge des Hauptstranges des Blattstiels *B*.

Figur V. *Freipräparirtes Stammscelett von G. m. (natürliche Grösse).*

*A* = Stammplatte, 1–6 Blattstiele, *e* = äussere, *m* = mittlere, *i* = innere Stränge des Blattstiel-Hauptstranges *h*, *s* = secundärer Strang des Hauptstranges, *f* = feinere, *n* = stärkere Blattstiel-Nebenstränge, *l* = Blattlücke, *ax* = Achselspross.

Figur VI–X. *Blattstielquerschnitt von G. m. (natürliche Grösse).*

*h* = Hauptstrang, *s* = secundärer Strang, *n* = stärkere, *f* = feinere Nebenstränge, *i* = innere, *e* = äussere Stränge des Hauptstranges *h*.

Figur XI–XIV. *Querschnitt durch Stamm, Blattstiel und Achselspross von G. m. (natürliche Grösse).*

*b* = Blattstiel, *ax* = Achselspross, *ax*<sub>1</sub> und *ax*<sub>2</sub> getheilter Achselspross, *pl* = Stammplatte, *pl*<sub>1</sub> und *pl*<sub>2</sub> = getheilte Stammplatte.

Figur XV. *Schematischer Querschnitt des Blattstiel-Hauptstranges von G. m.*

*st* = Stärkescheide, *c* = Collenchym, *p* = Grundparenchym, *s*<sub>1</sub> = äussere, *s*<sub>2</sub> = mittlere, *s*<sub>3</sub> = innere Siebtheile, *g*<sub>1</sub> = äusserer, *g*<sub>2</sub> = mittlerer, *g*<sub>3</sub> = innerer Gefässring, *a* = kollaterales Gefässbündel.

Figur XVI. *Kollaterales Gefässbündel (vergl. Fig. XVa).*

*hp* = Holzparenchym, *g* = Gefässe, *s* = Siebtheil.

Figur XVII. *Concentrischer Strang der Fruchtspindel von G. m.*

*p* = Parenchym, *g* = Gefässe, *s* = Siebtheile.

Figur XVIII. *Blattstiel-Nebenstrang von G. m.*

*pc* = peripherisches Collenchym, *c* = Collenchym, *p* = Parenchym, *hp* = Holzparenchym, *g* = Gefässe, *s* = Siebtheile.

Figur XIX. *Blattstiel-Hauptstrang von G. m. (vergl. Fig. XV).*

*p* = Parenchym, *c* = Collenchym, *g*<sub>2</sub> = mittlerer, *g*<sub>3</sub> = innerer Gefässring, *s*<sub>2</sub> = mittlere, *s*<sub>3</sub> = innere Siebtheile.

Figur XX. *Schematischer Querschnitt des Ausläufers von G. m.*

*c*<sub>1</sub> = äusseres, *c*<sub>2</sub> = mittleres, *c*<sub>3</sub> = inneres Collenchym, *s*<sub>1</sub> = äussere, *s*<sub>2</sub> = innere Siebtheile, *g* = Gefässe, *p* = Grundparenchym.

Figur XXI. *Schematischer Querschnitt einer Stamplatte von G. m.*

*st* = Stärkescheide, 1 bis 6 concentrische resp. collaterale Stränge, *c* = Collenchym, *s* = Siebtheile, *g* = Gefässe, *p* = Grundparenchym. *A*, *C* und *D* bezeichnen einzelne charakteristische Theile der Stamplatte (siehe Text).

Figur XXII. *Querschnitt durch den peripherischen Theil einer Stamplatte von G. m.*

*s* = Siebtheile, *c* = durch Theilung entstandenes Parenchym, *g* = Gefässe.

Figur XXIII—XXV. *Schematischer Querschnitt durch concentrische Stränge der Fruchtspindel von G. m.*

*c*<sub>1</sub> = äussere, *c*<sub>2</sub> = innere Collenchymgruppen, *s* = Siebtheile, *g* = Gefässe.

Figur XXVI. *Querschnitt durch die Fruchtspindel-Hauptachse von G. m.*  
(natürliche Grösse).

Figur XXVII und XXVIII. *Colleteren von G. m.* (medianer Längsschnitt).

*c* = Cuticula, *f* = Fuss.

Figur XXIX. *Colletere von Gunnera scabra* (medianer Längsschnitt).

Figur XXX. *Drüsenzotte von G. scabra.*

Figur XXXI—XXXII. *Längsschnitt durch eine Stamdrüse von G. m.*

*e* = Epidermis, *s* = Schleimcanäle, *no* = Nostoc-Colonien.

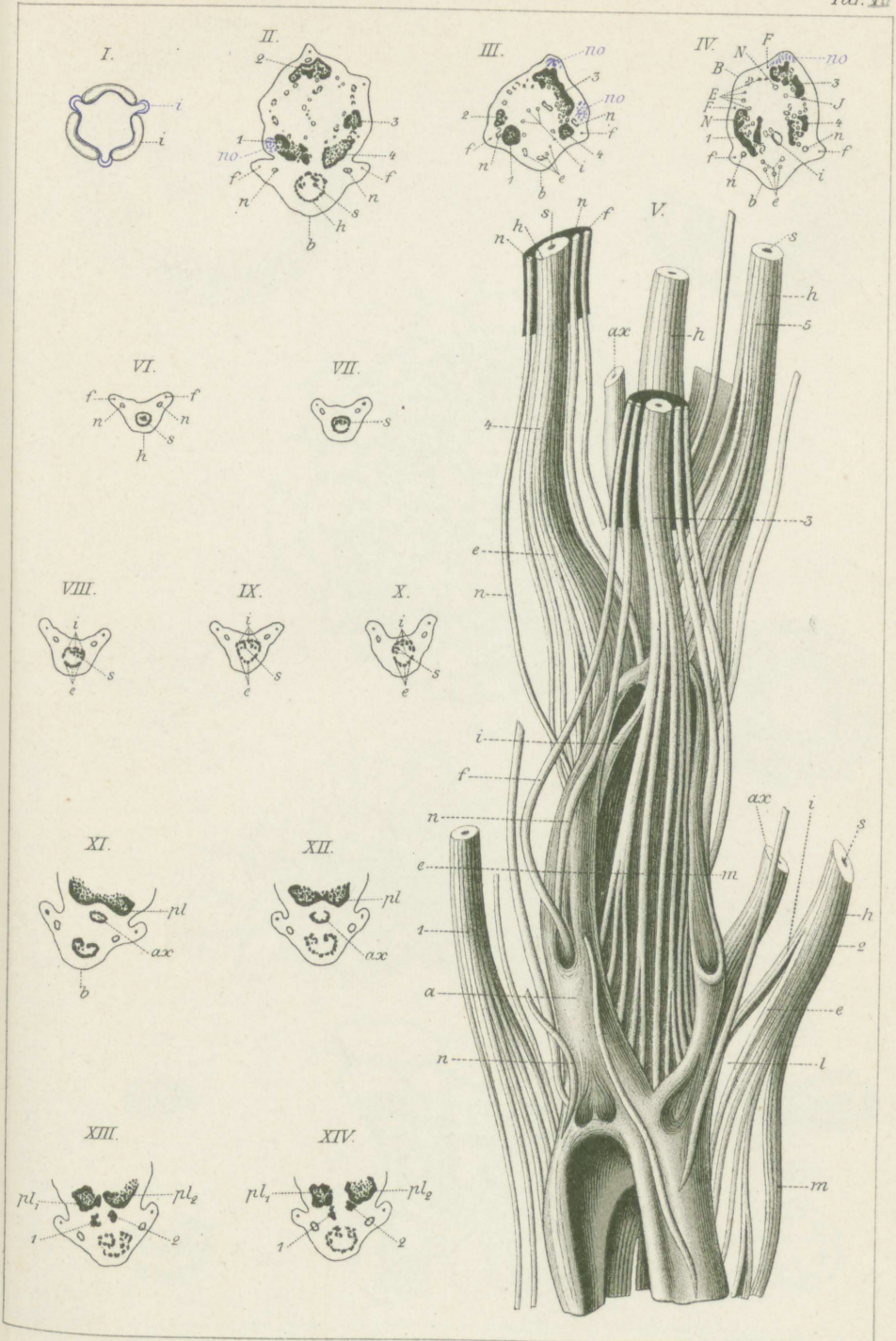
Figur XXXIII. *Querschnitt durch eine Stamdrüse von G. m.*

*s* = Schleimkanäle, *no* = Nostoc-Colonien.

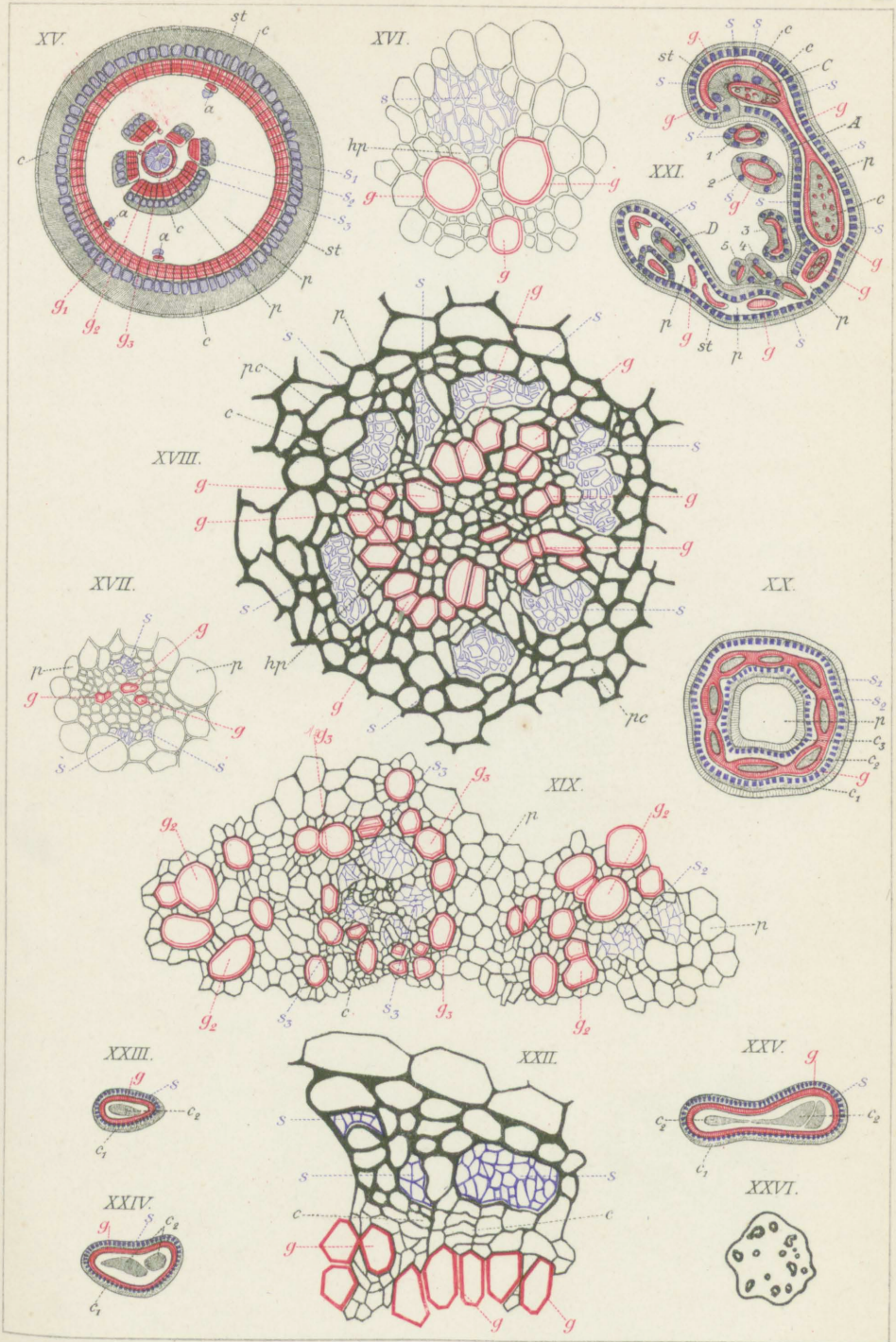
Figur XXXIV. *Längsschnitt durch das Parenchym unterhalb einer mit Nostoc inficirten Stamdrüse von G. m.*

*no* = Nostoc-Colonien, *a* = parenchymatische Zelle, 1—5 deren Wände, *b* = parenchymatische Zelle, an deren Wand sich ein Nostocfaden angelegt hat.

-----

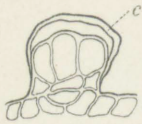


Lith. Anst. v. Werner & Winter, Frankfurt a. M.

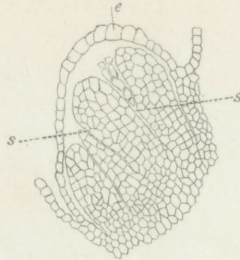


Lith. Anst. v. Werner & Winter, Frankfurt a. M.

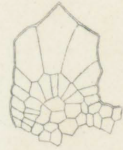
XXVIII.



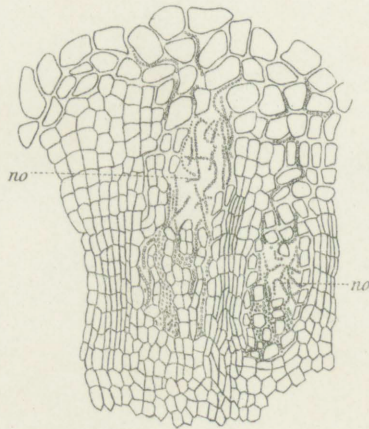
XXXI.



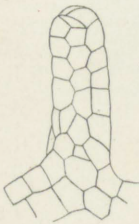
XXIX.



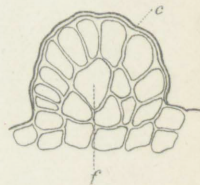
XXXII.



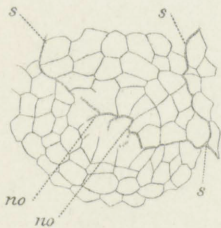
XXX.



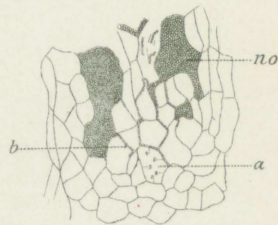
XXVII.



XXXIII.



XXXIV.



*lith. Anst v. Werner & Wörter, Frankfurt a. M.*

# ZOBODAT - [www.zobodat.at](http://www.zobodat.at)

Zoologisch-Botanische Datenbank/Zoological-Botanical Database

Digitale Literatur/Digital Literature

Zeitschrift/Journal: [Flora oder Allgemeine Botanische Zeitung](#)

Jahr/Year: 1889

Band/Volume: [72](#)

Autor(en)/Author(s): Merker P.

Artikel/Article: [Arbeiten aus dem botanischen Institut zu Marburg. II. 1\) 211-232](#)